

УДК 621.371.25

## О КОРРЕЛЯЦИИ ЧАСТОТЫ ПОЯВЛЕНИЙ СВИСТЯЩИХ АТМОСФЕРИКОВ С РАБОТОЙ МОЩНОЙ СВЕРХДЛИННОВОЛНОВОЙ СТАНЦИИ

Л. М. Оболенский, Ю. Я. Яшин

Приводятся результаты измерений частоты появления свистящих атмосфериков  $f$  при наличии и в отсутствие в ионосфере мощных сигналов СДВ станции

В настоящее время известны работы, где описаны наблюдения магнитосферного распространения мощных ультранизкочастотных радиосигналов (см., например, [1]). Представляет интерес качественно оценить воздействие мощных СДВ полей на ионосферу по измерениям частоты появления  $f$  свистящих атмосфериков [2, 3] в зависимости от времени суток при наличии или отсутствии СДВ полей в ионосфере над приемным пунктом.

Наблюдения  $f$  производились в довольно высоких широтах (магнитное наклонение составляло около  $25^\circ$ ). Прием свистящих атмосфериков осуществлялся с помощью 12-метровой вертикальной антенны и усилителя с полосой 1—20 кГц. Среднее значение  $f$  определялось как количество атмосфериков, записанных за час, деленное на 60.

Измерения показывают, что величина  $f$  существенно увеличивалась при наличии в ионосфере мощных СДВ полей. Результаты наблюдений в период с 25 марта по 16 апреля 1971 г. от 17 до 02 часов местного времени приведены на рис. 1. Сплошной линией обозначен средний временной ход появляемости свистящих атмосфериков в отсутствие, а штриховой — при работе мощной СДВ станции.

Причиной описанного изменения временной зависимости  $f$  может являться образование неоднородностей с повышенным или пониженным по сравнению с окружающей средой показателем преломления ниже максимума  $F$ -области под действием мощных радиосигналов [4].

При наличии подобных неоднородностей на поверхность Земли могут выходить те сигналы, которые претерпели бы полное внутреннее отражение на границе ионосфера — вакуум в плоскослоистой ионосфере

Оценки изменения показателя преломления в возмущенной области  $n_h$  и в невозмущенной области  $n$  при частоте станции  $\Omega = 15 \text{ кГц}$  ( $\omega = 2\pi\Omega$ ) от 100—120 км до 200—250 км для ночной ионосферы могут

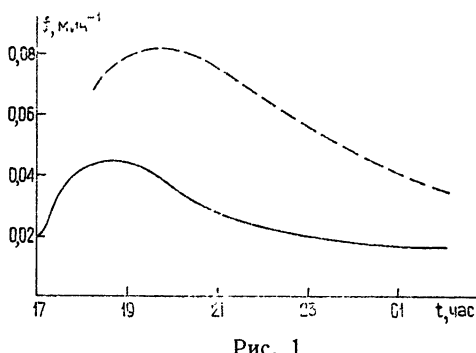


Рис. 1.

быть проведены по результатам работы [4] (в [4] рассматривался случай  $\omega \gg \nu_{\text{эфф}}$ , где  $\nu_{\text{эфф}}$  — эффективное число соударений электронов с тяжелыми частицами). Необходимые для оценок значения электронной концентрации  $N$ , концентрации молекул  $N_m$ , суммарной температуры электронов и ионов  $T$  взяты из [5], а оценки эффективного числа соударений для высот 80—130 км проведены на основе соотношений § 5 монографии [6].

При расчетах принимались во внимание два механизма изменения показателя преломления — стрикционный ( $n_{k_c}$ ) и нагревный ( $n_{k_T}$ ).

С учетом того, что для обычной волны оба механизма дают поправки к квадрату показателя преломления положительного знака [4], имеем\*

$$\begin{aligned} n_{k_c}^2 &\approx 1 + \frac{\omega_0^2}{\omega \omega_H} \left( 1 + \frac{e^2 |E|^2}{4\pi T m \omega \omega_H} \right), \\ n_{k_T}^2 &= 1 + \frac{\omega_0^2}{\omega \omega_H} \left( 1 + \frac{e^2 |E|^2}{3\omega_H^2 \pi T m \delta} \right), \\ n^2 &= 1 + \frac{\omega_0^2}{\omega \omega_H}, \quad \omega_0, \omega_H \gg \omega \geq \nu_{\text{эфф}}, \end{aligned} \quad (1)$$

где  $e$  и  $m$  — заряд и масса электрона,  $\omega_0$  и  $\omega_H$  — ленгмюровская и гиро-частота электронов,  $\pi$  — постоянная Больцмана,  $\delta$  — доля энергии, теряемая электроном при соударении с тяжелой частицей.

Основным механизмом изменения  $n$  является нагревный, так как  $\frac{\beta_c}{\beta_T} = \frac{3}{4} \frac{\omega_H}{\omega} \delta \approx 5 \cdot 10^{-2}$ , где

$$\begin{aligned} \beta_c |E|^2 &= \frac{\omega_0^2 e^2 |E|^2}{4\pi T m \omega^2 \omega_H^2} = n_{k_c}^2 - n^2, \\ \beta_T |E|^2 &= \frac{\omega_0^2 e^2 |E|^2}{3\pi T m \delta \omega \omega_H^3} = n_{k_T}^2 - n^2. \end{aligned}$$

Заметим, что к такому же, как в (1), изменению показателя преломления приводило бы изменение электронной концентрации:

$$\frac{\Delta N_{c,T}}{N} = \frac{m \omega \omega_H}{4\pi e^2 N} \beta_{c,T} |E|^2. \quad (2)$$

На высоте 80 км  $\nu_{\text{эфф}} \sim \omega_0, \omega_H$ . Для оценок показателя преломления (вообще говоря, комплексного) не будем учитывать магнитное поле и воспользуемся соотношением [5, 6]

$$|n| \sim \left| \frac{E}{E_p} \right|, \quad (3)$$

где  $E_p$  — характерное плазменное поле [6].

Поле  $E$  находится из соотношения

$$E^2 = \left( \frac{0,3VW}{z} \right)^2 \frac{1}{n} \quad \left( \frac{B^2}{cm^2} \right),$$

\* В рассматриваемом случае хорошо выполняются условия квазипродольного приближения, в частности  $\omega \ll \omega_H \cos \alpha$  ( $\alpha$  — угол между направлением распространения и внешним магнитным полем). Ниже для простоты полагаем  $\cos \alpha = 1$ .

Таблица 1

$Z, \text{ к.м.}$	$N_m, e\text{ н}^{-3}$	$N, e\text{ н}^{-3}$	$T, \text{ К}$	$n$	$W = 10 \text{ кВт}$		$W = 10^2 \text{ кВт}$		$W = 10^3 \text{ кВт}$		$W = 10^4 \text{ кВт}$	
					$\left(\frac{\Delta N}{N}\right)_T$	$n_k$						
80	$2,9 \cdot 10$	10	360	1,07	1,34		3,34		8,5		25	
100	$9,6 \cdot 10$	$1,2 \cdot 10$	420	2,96	0,12	3,02	0,36	3,36	1,2	4,08	3,6	5,23
120	$7,8 \cdot 10$	$2,1 \cdot 10$	720	3,91	0,035	3,98	0,11	4,13	0,35	4,47	1,05	5,33
130	$2,7 \cdot 10$	$2,2 \cdot 10$	950	4,06	0,025	4,10	0,072	4,23	0,24	4,43	0,72	5,24
150	$6,9 \cdot 10$	$2,4 \cdot 10$	1320	4,08	0,013	4,08	0,037	4,12	0,122	4,30	0,37	5,10
200	$8,4 \cdot 10$	$3 \cdot 10$	1750	4,61	0,005	4,61	0,014	4,65	0,045	4,71	0,14	4,91
250	$2 \cdot 10$	10	1910	8,2	0,002	8,2	0,005	8,2	0,015	8,22	0,05	8,36

где  $W$  — мощность излучения в киловаттах, а  $z$  — расстояние в километрах.

Результаты расчета по формулам (1)–(3) и значения ионосферных параметров, использованных при оценках, приведены в таблице (при  $W = 10; 10^2; 10^3; 10^4 \text{ кВт}$ ). Учитывая эффект полного внутреннего отражения на границе возмущенной и невозмущенной ионосферы, можно говорить о канализации свистов. Перепад показателей преломления на границе и высота, начиная с которой канал проявляется, зависит от  $W$ .

Таким образом, при наличии канала на Землю приходят частично те сигналы, которые в отсутствие возмущения отразились от границы ионосфера—вакуум.

Авторы признательны Б. Н. Гершману и Д. П. Котику за обсуждение результатов.

#### ЛИТЕРАТУРА

- 1 Я. И. Лихтер, О. А. Молчанов, В. М. Чмырев, Письма в ЖЭТФ, 14, № 6, 475 (1971).
- 2 R. A. Helliwell, Whistlers and related Ionospheric Phenomena, Stanford Univ Press., Stanford, 1965.
- 3 Б. Н. Гершман, В. А. Угаров, УФН, 72, вып. 2, 235 (1960).
- 4 А. Г. Литвак, ЖЭТФ, 57, № 8, 629 (1969).
- 5 А. В. Гуревич, А. Б. Шварцбург, Нелинейная теория распространения радиоволн в ионосфере, изд. Наука, М., 1973.
- 6 В. Л. Гинзбург, Распространение электромагнитных волн в плазме, изд. Наука, М., 1967.

Горьковский государственный университет

Поступила в редакцию  
1 ноября 1974 г.

#### CORRELATION OF THE RATE OF OCCURRENCES OF WHISTLING ATMOSPHERICS WITH OPERATION OF A POWERFUL SUPER-LONG WAVE STATION

*L. M. Obolenskii, Yu. Ya. Yashin*

The results of measuring the rate of occurrences of whistling atmospherics  $f$  in the presence and in the absence of SLM station signals in the ionosphere are given.